

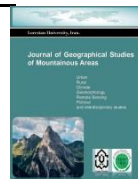


Lorestan University

Online ISSN: 2717-2325

Journal of Geographical Studies of Mountainous Areas

journal homepage: <http://www.gsma.lu.ac.ir>



Research Paper

The formation mechanism of Manjil Gap wind from a synoptic-dynamic

Nima Farid Mojtaheid^{a*}, Samaneh Negah^b, Hossien Abed^c

^a PhD in Meteorology, expert in charge of forecasting center, Guilan Meteorological Organization, Rasht, Iran.

^b Ph.D. in Climatology, Research Center Expert, Guilan Meteorological Organization, Rasht, Iran.

^c Ms.C. in Climatology, Director General of Hamadan Meteorological Organization, Hamadan, Iran.

ARTICLE INFO

Article history:

Received: 25 July 2022;

Accepted: 1 October
2022

Available online: 21
December 2022

ABSTRACT

The Manjil wind is one of the Iran atmospheric phenomena that is blowing in the southwestern of the Caspian Sea and northern region of the Iran plateau. Daily regime with the specified direction and high intensity of Manjil wind cause to the first windy farm is foremed in this region. In this study the reanalysis data of NCEP/NCAR were used to identify synoptic weather systems during the period 2010-1980. At first, the pressure gradient between northern and southern Alborz were obtained and were compared with observation data of Manjil wind intensity then synoptic patterns of wind were obtained during different months. In synoptic scale, long-term mean of sea level pressure indicate Siberian high pressure system in the cold months and the AZORZ high pressure system from the West Europe to the southern coastal of the Caspian Sea in the warm months lead to the formation of the North flows along Sefid Rood valley. In the warm season, meridional extension of Pakistan monsoon low-pressure and Saudi Arabian thermal low-pressure toward the Iran plateau cause to increasing the pressure gradient and wind speed. long-term pressure variation for hours of maximum wind speed (12UTC) and minimum wind speed (00UTC), indicate radiation and thermal conditions are very important factors on both sides of the Alborz mountains, especially during the hours of the on the wind formation mechanism. The narrowing of the Sefidroud valley as a secondary force is the main cause of channelization and increasing of the Manjil wind velocity.

Keywords:

Azores high pressure,
Iran thermal low
Pressure system,
Gap wind,
The Manjil wind.

1. Introduction

The wind is one of the most important atmospheric phenomena, which has always been of interest from different aspects, especially in creating negative or positive environmental conditions. The environmental effects of wind are very important, especially about transferring of energy fluxes, humidity, and creating turbulence in the atmosphere. In

addition to the importance of planetary wind, there are types of regional and local winds that are highly depended on geographical areas' environmental and physical conditions. They can be important in the formation of environmental conditions. Gap winds or currents refer to the airflow between gaps in mountainous regions, which may result from horizontal narrowing or narrowing in both vertical and horizontal directions, such as

*Corresponding Author.

Email Adresses Nima.fm@gmail.com (N. Farid Mojtabedi), Samaneh_Negah@yahoo.com (S. Negah), kamranabed@yahoo.com (H. Abed).

To cite this article: Farid Mojtabedi, N, Negah, S, Abed, H, (2023), The formation mechanism of Manjil Gap wind from a synoptic-dynamic. Journal of Geographical Studies of Mountainous Areas, 3(12), 225-244

DOI: [10.52547/gsma.3.4.225](https://doi.org/10.52547/gsma.3.4.225)

mountain passes. Gap winds occur when there is a pressure gradient along the gap direction.

2. Methodology

The hourly wind velocity and direction data of Manjil station was used to analyze the statistical behavior of wind from its establishment until 2020 (statistical period 1993-2020). The 2.5° data (1981-2020) of the American National Center for Environmental Prediction NCEP/NCAR was used to investigate the pressure pattern between the Caspian Sea and Central Iran. The topographic conditions were interpreted using the 90-meter DEM raster layer of ASTER satellite and Google satellite images. In this study, the daily sea surface temperature database of the world was downloaded and evaluated in the analysis. The studied area includes the central plain of Gilan, Sefidroud valley, and Manjil plain in Gilan province, and parts of the Iranian plateau including Abhar-Khorram valley, Qazvin, Shahriyar, and Tehran Plain.

3. Results

The analysis of the hourly data of the Manjil observation station during the statistical period shows that this wind has a specific daily behavior. Thus, the wind velocity increases from 9 GMT during the day and its peak is at 12 and 15 GMT. The average wind speed of Manjil during the peak hour at 12:00 and 15:00 GMT during the statistical period is equal to 10 meters per second. An important point is this station's dominant and sub-dominant north and northeast winds during the year. Examining the frequency of hourly, daily, monthly, and seasonal behavior of Manjil wind at the representative station (Manjil) shows the effect of radiation (thermal) conditions on this wind.

4. Discussion

Long-term synoptic patterns of wind formation conditions were analyzed by using re-analyzed NCEP-NCAR data. In this section, the synoptic pattern of long-term average sea level

pressure conditions for 00:00 and 12:00 UTC hours, when the minimum and maximum wind velocity is recorded at the station, and by month the hot and cold seasons of the year were analyzed. In addition to synoptic analysis, the night and day conditions of the Manjil wind phenomenon during the rising and falling hours of wind speed, the pressure difference between the South Caspian region and the Iranian plateau (Qazvin plain) using long-term pressure data obtained from NCEP-NCAR re-analyzed data for Identification of pressure-temperature contrasts between two regions was investigated. The behavior of the difference during the days of the year shows the reality of the behavior of the Manjil wind. As the pressure difference increases, the wind speed of Manjil increases in a certain way. According to this graph, these conditions have increased in the year's warm season. In addition to the similarity of the behavior of the two graphs of wind speed and pressure contrast, the correlation between Manjil wind speed and the atmospheric difference between the southern part of the Caspian Sea and the Iranian plateau is equal to 0.857. The calculation of this difference for 0, 06, 12, and 15 hours of GMT clearly justifies the daily behavior of Manjil wind. At the same time with the rise of Manjil wind speed at 12 o'clock at the station, we see an increase in the difference. The lowest value of the index is at 0 GMT, which is exactly in accordance with the specific time that the wind speed reduces and also the lowest hourly frequency of the wind.

5. Conclusion

The results of this study show that the blowing conditions of the Majil wind result from three main and complex conditions. The conditions and mechanism leading to the blowing of the Manjil wind are caused by the presence of synoptic pressure systems in the north and south of Alborz. These pressure systems include the Siberian high-pressure system, which plays the main role in the cold season,

and the Azores dynamic high-pressure system, which produces wind in the region during the warm season. At the beginning of the cold season and with the change in the thermal conditions of the sea, it is expected that the direction of the wind will change and it will take place from the side of the Iranian plateau to the northern region. But at the same time, due to the expansion of the high-pressure belt of Siberia to the region, high-pressure conditions are created in the region compared to the Iranian plateau. That is, by removing the factor of boundary layer conditions and the thermal difference caused by the material and physical properties of the surfaces, the role of the generating force of Manjil wind is transferred to the pressure systems of the same scale. Conditions such as higher latitude and different geographical conditions between the southern part of the Caspian Sea and the Gilan plain with the southern plains of the Alborz mountain range have caused the thermal contrast to continue during the night hours. However, during the absence of the sun, the differences caused by the local radiation conditions are eliminated, and for this reason, during the night hours, we see a reduction and even abatement of the Manjil wind blowing. In addition to the different physical conditions of the surfaces, other interwoven factors are effective in the durability of wind blowing in Majil. With all the visual and physical interpretations made in the field of the formation factor of Manjil wind, the thing that caused the appearance of Manjil wind is not the visual-dynamic and physical conditions alone, but the topographical conditions. The existence of the Sefidroud valley, especially from Rudbar to Manjil, which creates air flow by narrowing and converging, is one of the important factors for speeding up the Manjil wind. In such a way that the conditions of Manjil's wind speed are not observed anywhere else, not along the valley and even at its exit.



سازوکار شکل‌گیری باد گپ منجیل از دیدگاه همدید-دینامیکی

نیما فرید مجتهدی^{۱*}، سمانه نگاه^۲، حسین عابد^۳

^۱ دکتری هواشناسی، کارشناس مسئول مرکز پیش‌بینی، سازمان هواشناسی گیلان، رشت، ایران.

^۲ دکتری آب و هواشناسی، کارشناس مرکز تحقیقات، سازمان هواشناسی گیلان، رشت، ایران.

^۳ کارشناس ارشد آب و هواشناسی، مدیر کل سازمان هواشناسی همدان، همدان، ایران.

اطلاعات مقاله

چکیده

دریافت مقاله:

۱۴۰۱/۰۵/۰۳

پذیرش نهایی:

۱۴۰۱/۰۷/۰۹

تاریخ انتشار:

۱۴۰۱/۰۹/۳۰

باد منجیل یکی از پدیده‌های آب و هوایی ایران است که در پهنه‌ای کوچک از جنوب‌غربی دریای کaspیین و شمال ایران می‌وزد. رفتار روزانه به نسبه ثابت این باد که با جهت مشخص و شدت بالا می‌وزد، سبب شده که نخستین نیروگاه بادی کشور برای بهره‌گیری از انرژی بادی در این منطقه احداث شود. در این مطالعه برای شناسایی سامانه‌های همدید موثر بر وزش این باد داده‌های واکاوی مجدد مرکز جو و اقیانوس‌شناسی ایالات متعدد در طی دوره ۱۹۸۰-۲۰۰۰ مورد استفاده قرار گرفت. در ابتدا با استفاده از این داده‌ها گردایان فشاری تراز دریا بین شمال و جنوب البرز به صورت روزانه استخراج و با داده‌های شدت باد در استگاه منجیل مورد مقایسه قرار گرفت. سپس الگوی همدید باد در طی ماههای مختلف سال استخراج شد. میانگین درازمدت الگوی فشار تراز دریا در مقیاس همدید نشان می‌دهد نفوذ زبانه سامانه پرفشار سبیری به نیمه شمالی ایران در ماههای سرد سال و نفوذ زبانه سامانه پرفشار آزور از سمت غرب اروپا به سواحل جنوبی دریای کaspیین در ماههای گرم، عامل شکل‌گیری جریان‌های شمال‌سوی در مسیر دره سفیدرود است. در دوره گرم سال گسترش نصف‌النهاری کم‌فارش موسمی پاکستان و کم‌فارش حرارتی عربستان تا نیمه فلات ایران، موجب تقویت کم‌فارش حرارتی فلات ایران و افزایش شیو فشاری و تندی وزش باد می‌شود. تغییرهای فشاری درازمدت برای ساعت‌های بیشینه تندی باد (UTC ۱۲) و کمینه تندی باد (UTC ۰۰)، تاثیر پذیری سازوکار شکل‌گیری باد منجیل را از شرایط حرارتی و تابش دریافتی دو سوی رشته کوه البرز به ویژه گرمایش فلات ایران طی ساعت‌های روز نشان می‌دهد. تنگ‌شدگی دره سفیدرود به عنوان واداشت ثانویه، عامل اصلی کانالیزه شدن و تندی وزش باد منجیل است.

۱. مقدمه

برخوردار است. علاوه بر اهمیت باد سیاره‌ای، انواع بادهای منطقه‌ای و محلی که به شدت به شرایط محیطی و فیزیکی مناطق جغرافیایی وابسته هستند در شکل‌گیری شرایط زیست‌محیطی می‌توانند با اهمیت باشند. بادهایی که در سرزمین‌های کوهستانی دیده می‌شوند، دو گونه هستند. شارش‌های زمین‌واداشته، وقتی ایجاد می‌شوند که بادهای بزرگ‌مقیاس به وسیله ناهمواری‌های

باد از مهم‌ترین پدیده‌های جوی است که از جنبه‌های مختلف، به ویژه به وجود آوردن شرایط محیطی منفی یا مثبت، همیشه مورد توجه بوده است. اثرهای محیطی وزش باد به ویژه در انتقال شارهای انرژی، رطوبت و ایجاد تلاطم در جو از اهمیت به سزایی

*نویسنده مسئول:

پست الکترونیک نویسنده‌گان: Nima.fm@gmail.com (ن، فرید مجتهدی)، kamranabed@gmail.com (س، نگاه)، samaneh.negah@gmail.com (ح، عابد).

نحوه استنادهای به مقاله: فرید مجتهدی، نیما، نگاه، سمانه، عابد، حسین (۱۴۰۱). سازوکار شکل‌گیری باد گپ منجیل از دیدگاه همدید-دینامیکی. فصلنامه مطالعات جغرافیایی مناطق کوهستانی. سال سوم، شماره ۴ (۱۲)، صص ۲۲۵-۲۴۴.



Doi:10.52547/gsma.3.4.225

839: 2005) بادهای محلی را به گونه‌ی جامع تر طبقه‌بندی کرد. الف) بادهای شبانه‌روزی، که شامل بادهای همراه با چرخه روزانه هستند ب) بادهای اثرِ جت، شامل بادهای که قویاً تحت تاثیر توپوگرافی محلی هستند. پ) باد آنتی‌تریپیک، شامل بادهای است که از گرادیان فشار یا گرمایی (نسیم دریا-خشکی یا بادهای فون/چینوک) یا به‌وسیله گرانی (مانند بادهای ریزشی) به وجود می‌آیند. ت) بادهای محلی تولید شده به‌دلیل گرمایش یا ناپایداری که به‌وسیله هجوم هوای سرد ایجاد می‌شوند (مانند توفان غبار یا هبوب. ث) بادهای تولید شده به‌وسیله گرادیان فشار قوی روی یک ناحیه نسبتاً کوچک انواع سازوکارهای باد گرم نیز در گروه بادهای محلی و بادهای ریزشی قرار می‌گیرند (Allaby, 2007: 170) و (Barry, 2008: 131). اوایلور (Allaby, 2007: 1545) برای محلی را معرفی کرداند. (Mayer et al, 2002: 1545) اندازه‌گیری دما، فشار، رطوبت و موقعیت یک بسته ادوات هواشناسی قابل حمل برای مطالعه جریان‌های گپ و دیگر شارش‌های متاثر از ناهمواری، طراحی کردند. زوندا یک باد گرم و بسیار خشک است که در جبهه شرقی رشته‌کوه‌های کوردیلارا در عرض‌های جنوب حاره در آمریکای جنوبی رخ می‌دهد. سه رخداد زوندا تیپیک از گونه‌های متفاوت به وسیله داده‌های مشاهداتی و مدل CPTEE¹ توسط Seluchi (2007) مورد مطالعه قرار گرفت. آزمایش حساسیت مدل نشان می‌دهد اگر آند کوتاه‌تر بود، فراوانی باد زوندا کمتر و شدت آن می‌توانست کمتر باشد. از جمله دیگر مطالعه‌ها می‌توان به کار and et al (2010) Schamidili (2007) Gaffin (2007) به بررسی شرایط همدید رخداد باد فون در کوه‌های آپالاش، نام برد. مطالعه بادهای گپ، از مجموعه پژوهش‌های مورد علاقه متخصصان هواشناسی کوهستان در منابع لاتین است. بادهای گپ زیادی در جهان مورد شناسایی و مطالعه قرار گرفتند. باد جوان دفوكا در غرب ایالت واشنگتن و بریتانیا

پیچیده زیرین پیرایش شده یا سوگیری یابند. بادهای شبانه‌روزی کوهستان که به دلیل تضادهای دمایی درونی یا بین کوهستان‌ها و دشت‌های اطراف ایجاد می‌شوند و به همین دلیل گردش‌های گرما رانشی نامیده می‌شوند. از جمله شارش‌های گرما رانشی می‌توان انواع سامانه‌های باد کوهستانی از جمله بادهای فراشب و فروشیب (باد دامنه‌ای یا نسیم کوهدشت)، بادهای امتداد دره، Akhlagh Khosh (and et al, 2015). این بادها روی یک ناحیه کوچک اثر می‌گذارند و معمولاً در پائین‌ترین لایه جو می‌وزند. اثر بادهای محلی وابسته به مشخصات گرمایی، رطوبتی و سرعتی است که به دست می‌آورند. بادهای محلی از لحاظ جهت و شدت از بادهای ناشی از اغتشاش‌های عمومی فشار متفاوت هستند. این بادها ممکن است به وسیله عوامل متفاوتی مانند اختلاف در دمای دو سطح هم‌جوار شکل گیرند که باد آنتی‌تریپیک مانند نسیم دریاچه-خشکی و باد کوه به دشت تولید می‌کند. بادهای کانالیزه شده از میان شکاف (Gap) در رشته‌کوه‌ها که بادهای تنگه کوهستان یا بادِ اثرِ جت را با نام‌های محلی مختلف تولید می‌کند (Allaby, 2007: 305). حضور ناهمواری می‌تواند منجر به واداشت حرارتی و دینامیکی میدان باد مقیاس متوسط شود. پدیده کانالیزه شدن اشاره به گرایش بادهای داخل دره به وزیدن بیشتر و کمتر، موازی با محور دره با یک تفاوت جهت با باد بالای خط الراس‌های مرفع دارد. کانالیزه شدن بادهای سطحی در چندین منطقه در جهان دیده شده است و مورد مطالعه قرار گرفته است از جمله بالای دره راین در آلمان، ناهمواری‌های کوهستانی نزدیک بازل سوئیس، تنسی و دره هودسون در ایالات متحده و مناطق شرقی قطبی کانادا. بادهای یا جریان‌های شکاف (Gap) اشاره به جریان هوای بین خلاء‌های مناطق کوهستانی دارد که ممکن است از تنگ‌شدگی افقی کامل یا تنگ‌شدگی هم در جهت عمودی و افقی مانند گذرگاه‌های کوهستانی ناشی شود. بادهای گپ در صورت وجود شیو فشار در راستای طول جهت گپ به وجود می‌آیند (Oliver, Carrera et al, 2009: 2349).

¹Eta–Centro de Previsão de Tempo e Estudos Climáticos

لحوظ جنس و رنگ، همگی در به وجود آوردن شرایط متفاوت دمایی، فشاری و به تبع آن بادهای منطقه‌ای و محلی موثر بوده است. سرزمین ایران دارای بادهایی منطقه‌ای و محلی فراوانی است که گاه‌ها در سطح جهانی از شهرت برخوردارند. از جمله این بادها می‌توان از بادهای ۱۲۰ روزه سیستان، منجیل، شمال Kaviani, 2000 and Masoudian, 2008) باد گرمش (Alijani, 2000 and Oliver, 2005) نام برد. شناسایی سازوکار همدید رخدادهای جوی یکی از راهکارهای اولیه در زمینه شناخت ابعاد مختلف پدیده‌های جوی است. در زمینه الگوی همدید و دینامیکی شکل‌گیری بادهای ایران مطالعه‌های تاکنون انجام شده است. بیشتر این مطالعه‌ها مربوط به بادهای معروف سیستان و منجیل است که در پهنه فلات ایران می‌وزند و جزوء پدیده‌های شاخص جوی ایران هستند. به عنوان مثال جهت مطالعه باد سیستان تاکنون چند مطالعه منتشر شده وجود دارد. Hosseinzadeh از پیشگامان مطالعه در زمینه باد ۱۲۰ روزه سیستان بود. Gandhamkar در مطالعه خود در زمینه باد ۱۲۰ روزه سیستان دریافت که گسترش مرکز کم‌فشار پاکستان در سطح زمین و مرکز کمارتفاع گنگ و پاکستان در لایه‌های پائین و میانی جو، در واقع الگوی حاکم بر وزش بادهای ۱۲۰ روزه سیستان است et al. (Gandhamkar, 2018). مطالعه دیگر در این زمینه مربوط به Mofidi al (2012) است. مطالعه ایشان در زمینه تعیین زمان آغاز، خاتمه و طول مدت وزش باد سیستان بوده است. نتایج مطالعه ایشان نشان داد که متوسط طول دوره‌ی وزش باد سیستان ۱۶۵ روز در سال است و زمان آغازگری، زمان خاتمه، شدت و طول مدت وزش باد سیستان تغییرهای قابل ملاحظه‌ای را از سالی به سال دیگر نشان می‌دهد (Mofidi, 2012). Masoudian (2012) مطالعه مروری و با استفاده از داده‌های ساعتی جهت و تندی باد، سازوکار شکل‌گیری باد ۱۲۰ روزه سیستان را تشریح کرد. به نظر وی کم‌فشار پاکستان و پیکربندی ناهمواری نقشی اساسی در پیدایش و ویژگی باد ۱۲۰ روزه دارند. به نظر می‌رسد آرایش

کلمبیا (1981)، باد هیجاکاوا-آراشی در ژاپن (2019)، هو ساند در ایالات بریتیش کلمبیا کانادا (2017)، توکر در دریای سرخ (Davis, 2015)، تنگه نارس در گرینلند (2018)، سواحل شمالی آدریاتیک (2013) و ... نمونه‌هایی از این بادها هستند. تضادهای دمای هوا و فشار در وردسپهر زیرین، در طول رشته‌کوه‌های کاسکد شیوه‌های فشاری شرق-غربی در سراسر این رشته‌کوه، به ویژه وقتی که با شرایط همدید مطلوب همراه باشد را به وجود می‌آورد که مسبب وزش باد گپ جورج می‌شود (Sharp, 2004). از مهم‌ترین بادهای گپ شناخته شده در جهان، جت بادهای تولید شده توسط سه شکاف کوهستانی آمریکای مرکزی است که تأثیر قابل توجهی در میانگین وضعیت منطقه استوایی شمال‌شرقی در آمریکای مرکزی است (Liang, 2009). تنگه‌ها در رشته‌کوه‌های آمریکای مرکزی منجر به ایجاد ۳ باد سطحی به سمت خلیج‌های تههانیت‌پک، پاپاگیو و پاناما می‌شود. شمالی‌ترین جت باد، تههانیت‌پک عمدتاً توسط هوای سردی که از عرض‌های جغرافیایی معتدل‌له می‌وزد به وجود می‌آید. بادهای تجاری شمال‌شرقی غالب که از دریای کارائیب می‌وزد و در پاپاگیو و پاناما، کانالیزه می‌شود و ۲ باد جتی دیگر را شکل می‌دهند. اگرچه گسترش غرب‌سوی و شدید پرفشار آزورز-برمودا جت‌های پاپاگیو و تههانیت‌پک را در نیمه تابستان تسريع می‌کند. بادهای گپ در طی زمستان شمالی شدیدترین حالت را دارند. این جت‌ها، افیانوس آرام حاره‌ای شمال‌شرقی را از طریق تاثیری که بر اعتدال چرخه سالانه دمای سطحی آب، تقویت اختلاط تلاطمی، گردش چرخه‌های اقیانوسی و چرخه‌ها متأثر می‌کند. این بادها همچنین روی موقعیت ناحیه همگرایی بین حاره‌ای و ایجاد ناهنجاری جوی تاثیر می‌گذراد (Yang, 2017). وجود ناهمواری‌های گستردۀ و عمدۀ در فلات ایران، شامل رشته‌کوه‌های عمدۀ، توده‌های کوهستانی مرتفع، دره‌های عمیق، پهناور و طولانی، وجود پهنه‌های آبی در کرانه‌ها و حاشیه این سرزمین به نسبه مرتفع، سطوح متنوع از

نمی تواند بیانگر شناسایی سازوکار بلندمدت این پدیده باشد. در این مطالعه سعی شده است در ابتدا الگوهای بلندمدت موثر بر رخداد باد منجیل شناسایی شوند. منشاء سامانه‌های همدید موثر بر رخداد باد منجیل با استفاده از نقشه‌های میانگین بلندمدت ماهانه فشار شناسایی و معرفی شوند. طبق مطالعه انجام شده و همچنین شواهد محیطی و مطالعه داده‌های ایستگاه‌های منطقه باد منجیل از نوع بادهای گپ است. شرایط جغرافیایی در مقیاس منطقه‌ای، وجود دره سفیدرود و همچنین الگوی همدید، شرایط را برای رخداد یکی از مشهورترین بادها در نیمه شمالی کشور به نام باد منجیل فراهم کرده است. در زمینه الگوهای همدید، منشاء سامانه‌های فشاری موثر بر این باد مطالعه‌های اندکی صورت پذیرفته است. همین مطالعه‌های محدود نیز مختص به یک سال بوده و نشان‌گر الگوهای همدید در مقیاس بلندمدت نیست.

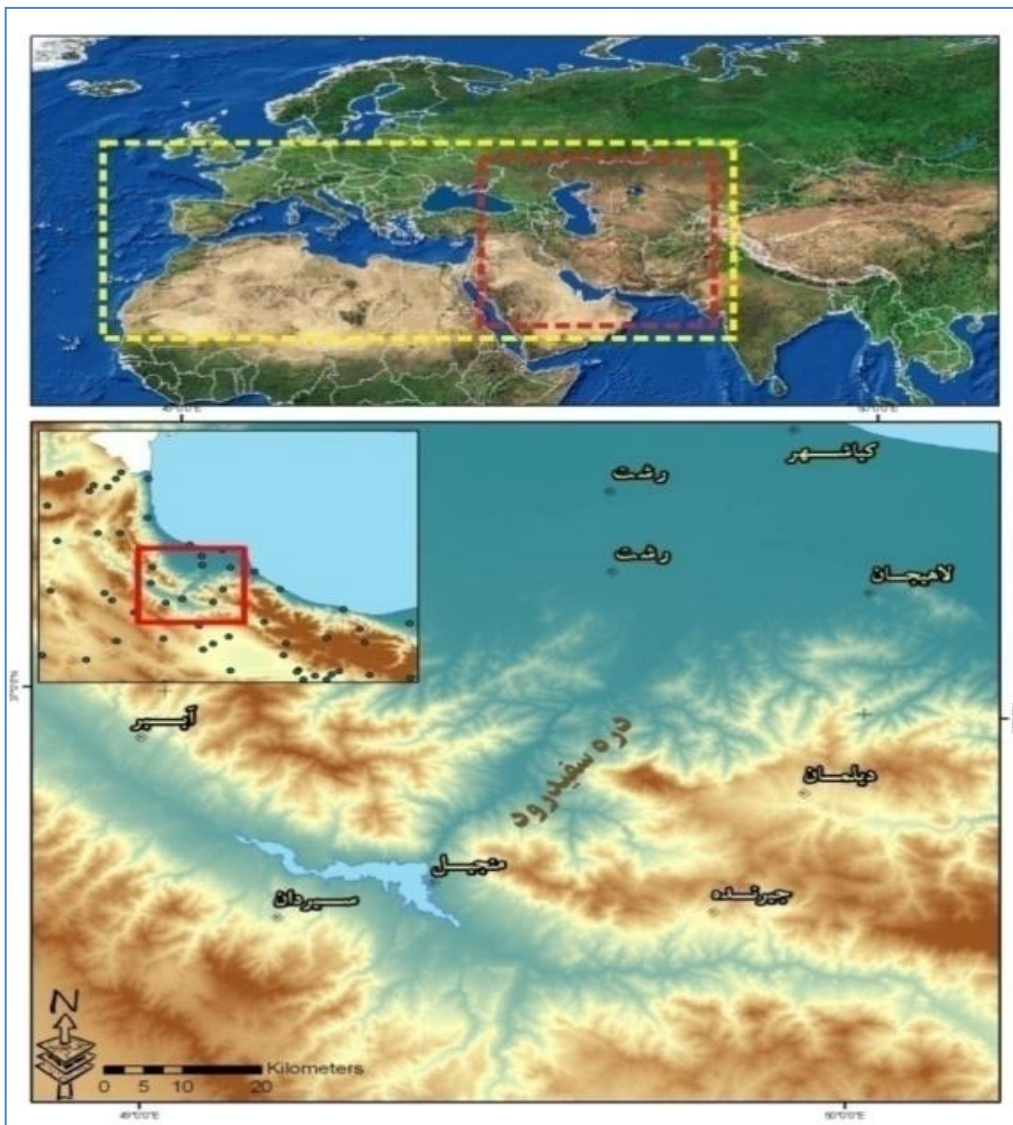
۲. روش تحقیق

در این مطالعه برای شناسایی الگوهای همدید منجر به وزش باد منجیل از چند نوع داده استفاده شد. **الف.** از داده‌های ساعتی شدت و جهت باد ایستگاه همدید منجیل از بدو تأسیس تا ۲۰۲۰ (دوره آماری ۱۹۹۳-۲۰۲۰) استفاده شد. داده‌های ساعتی این ایستگاه‌ها برای ساعت‌های ۰۰، ۰۳، ۰۶، ۰۹، ۱۲، ۱۵، ۱۸، ۲۱، ۲۴ گزینی‌یچ استخراج و گلبداهای مورد نیاز به شکل ماهانه و فصلی در ساعت‌های مورد نظر ترسیم شدند. برای ترسیم گلبداد از نرم‌افزار WRplot استفاده شد. **ب.** برای بررسی الگوی فشار بین دریایی کاسپین و ایران مرکزی از داده‌های ۲/۵ درجه (۱۹۸۱-۲۰۲۰) مرکز ملی پیش‌بینی محیطی آمریکا NCEP/NCAR استفاده شد. نخست با استفاده از داده‌های NCEP/NCAR شرایط میانگین فشار برای ساعت‌های مختلف همدید ترسیم شد تا اضافه به بررسی تغییرهای شیو فشار در طول سال، ساعت پیشینه شیو نیز مشخص شود. **ج.** شرایط توپوگرافی با بهره‌گیری از لایه رستری ۹۰ DEM متری ماهواره ASTER و تصاویر ماهواره‌ای گوگل مورد تفسیر قرار گرفت. جهت تحلیل آماری از بسته نرم‌افزاری SPSS استفاده شد. **د.** در این مطالعه بانک اطلاعاتی داده روزانه

سامانه‌های فشار، در کنار پیکربندی ناهمواری در پیدایش و تداوم بادهای ۱۲۰ روزه سیستان نقش داشته باشند. بررسی فشار تراز دریا آشکار ساخت که تفاوت فشار تراز دریا از شمال شرقی کشور با فشار تراز دریا بر روی جنوب پاکستان با تندي باد ۱۲۰ روزه در پیوند است. آخرین مطالعه در زمینه باد ۱۲۰ روزه سیستان مربوط به (Hashemzadeh 2014) است. وی با استفاده از داده‌های ۸ ایستگاه همدید کرانه شرقی ایران و استفاده از داده‌های واکاوی مجدد، الگوی همدید شروع، شدت و خاتمه باد ۱۲۰ روزه، منشاء باد را در دوره‌های مختلف باد بدست آورد. همچنین مهم‌ترین سامانه‌های فشاری را که منجر به شکل‌گیری این باد شدند شناسایی کرد. مطالعه‌های صورت گرفته در زمینه باد منجیل نسبت به باد سیستان بسیار محدود‌تر است. باد منجیل را شاید بتوان تنها مطالعه در زمینه بادهای کوهستانی از نوع باد تنگه دانست (Sedaghat kerdar,2009). شاید در زمینه باد منجیل تاکنون تنها مطالعه (Rezaei 2003) است. نتایج مطالعه وی نشان داد که باد منجیل از پدیده‌های سطح زمین بوده و به ندرت به سطوح فوقانی گسترش می‌یابد، چنانکه در نقشه‌های سطوح فوقانی و سطح ۸۵۰ هکتارپاسکال این جریان ملاحظه نمی‌شود. عامل اصلی و منشاء پیدایش باد منجیل استقرار یک هسته پرفشار در فصل گرم بر روی دریایی کاسپین و شکل‌گیری یک مرکز کم‌فارش هم‌زمان با آن در داخل ایران است که سبب گسترش و حرکت افقی هوا از سمت کاسپین به سوی دشت قزوین می‌شود. عوارض سطحی زمین به ویژه دره سفیدرود، به شکل‌گیری و کانالیزه کردن باد منجیل کمک کرده است. وی معتقد است در دوره گرم سال، دو عامل، اختلاف ارتفاع بین دریایی کاسپین و ایران مرکزی و استقرار کانون‌های فشار باعث پیدایش این باد می‌شود. در دوره سرد سال با جابجا شدن سامانه‌های محلی و کانون‌های فشار، تنها عامل اختلاف ارتفاع در به وجود آمدن این پدیده (به صورت ضعیف) نقش دارد. به تبعیت این مساله، فراوانی حالات دارای باد کاهش و فراوانی هوای آرام، افزایش می‌یابد (Rezaei,2003). استناد این مطالعه تنها به نقشه‌های یک سال (۱۹۹۳ میلادی)

در این مطالعه برای شناسایی منشاء الگوهای همدید موثر بر وزش باد منجیل گستره مکانی ۲۰ درجه غربی الی ۷۰ درجه شرقی در راستای نصف‌النهاری و ۱۰ الی ۵۵ درجه شمالی مورد نظر بوده است. جهت تحلیل منطقه‌ای الگوهای همدید، محدوده ۲۰ الی ۵۰ درجه شمالی و ۴۰ الی ۶۵ درجه شرقی سنجش شد (شکل ۱).

دمای سطح دریاهای جهان به مدت ۳۰ سال بارگیری و ذخیره و چون استفاده از این داده‌ها به دلیل فرمت آن غیر ممکن بود، طبق مدلی که در نرم‌افزار سامانه اطلاعاتی (GIS) نوشته شد، داده‌ها از بنک اطلاعاتی فراخوانی و خروجی آن به فرمت Raster و Shape ذخیره شد. سپس اطلاعات دمای ماهانه سطح دریای کاسپین طی مدت ۳۰ سال برای پهنه جنوبی این دریا محاسبه شد.



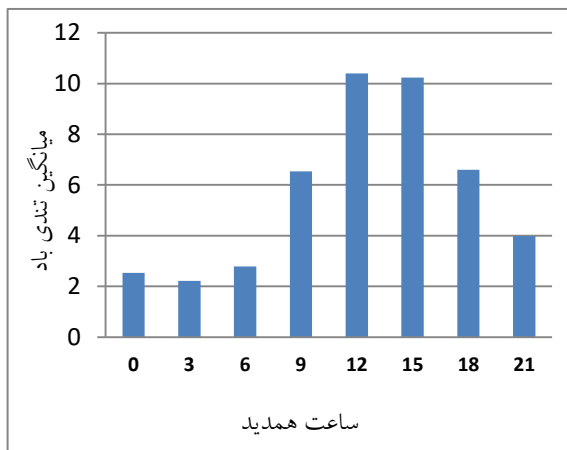
شکل ۱. بالا محدوده مورد استفاده جهت مطالعه همدید در مقیاس فرامنطقه‌ای (خط چین زرد) و منطقه‌ای (خط چین قرمز) برای شناسایی الگوهای همدید موثر بر باد شکل‌گیری باد منجیل. پایین موقعیت دره سفیدرود و ایستگاه منجیل، منبع: نگارندگان، منبع: ۱۴۰۰.

گوناگون واقع شده است که نقطه اتصال شان دره سفیدرود است. وجه مشخصه شرایط آب و هوایی جلگه گیلان رطوبت دائمی و اعتدال دمایی و منطقه دیگر که بخش‌های از فلات ایران را در بر می‌گیرد، شرایط خشک و تضادهای دمایی روزانه بالا است.

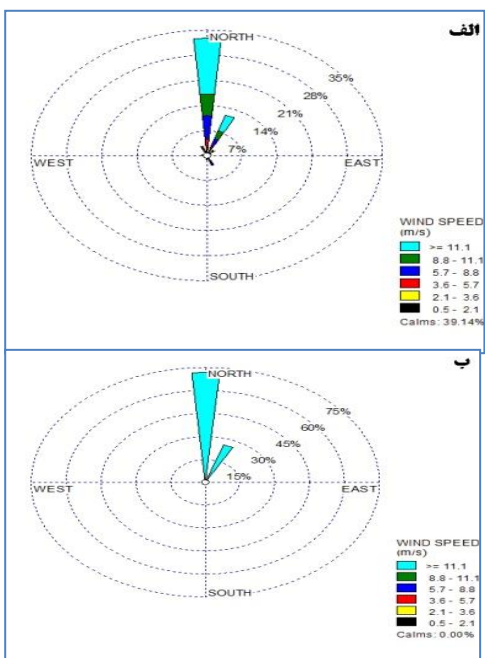
۱.۲ معرفی محدوده مورد مطالعه

منطقه مورد مطالعه منطبق جلگه مرکزی استان گیلان و مناطقی از فلات ایران در دشت‌های تهران، کرج، قزوین و زنجان است. گستره منطقه مورد مطالعه میان دو جغرافیا و شرایط آب و هوایی

NCAR در این بخش الگوی همدید شرایط میانگین بلندمدت فشار تراز سطح دریا برای ساعت‌های ۰۰ و ۱۲ UTC که کمینه و بیشینه تندی باد در ایستگاه ثبت شده است به تفکیک ماه‌های سرد و گرم سال مورد تحلیل قرار گرفت. بررسی الگوی میانگین بلندمدت ساعت ۰۰ UTC ماه ژانویه نشان می‌دهد نیمه شمالی ایران متاثر از زبانه توده هوای پرفشار سبیری است (شکل ۵).



شکل ۲. میانگین تندی باد منجیل استخراج شده از داده‌های ساعتی همدید در طی دوره آماری، منبع: اداره کل هواشناسی گilan



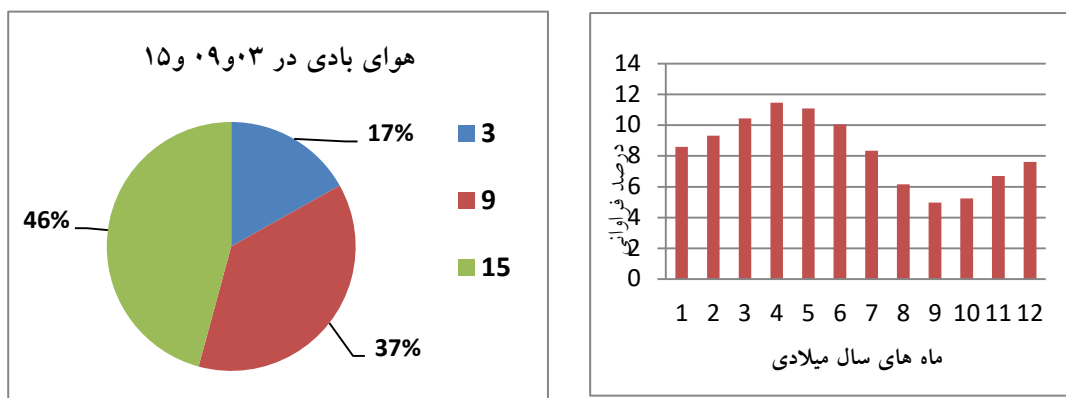
شکل ۳. الف. گلبد سالانه ایستگاه منجیل (متر بر ثانیه)
ب. گلبد ساعت UTC ۱۵ منجیل در در طی دوره آماری،
منبع: نگارندگان.

۳. یافته‌های پژوهش

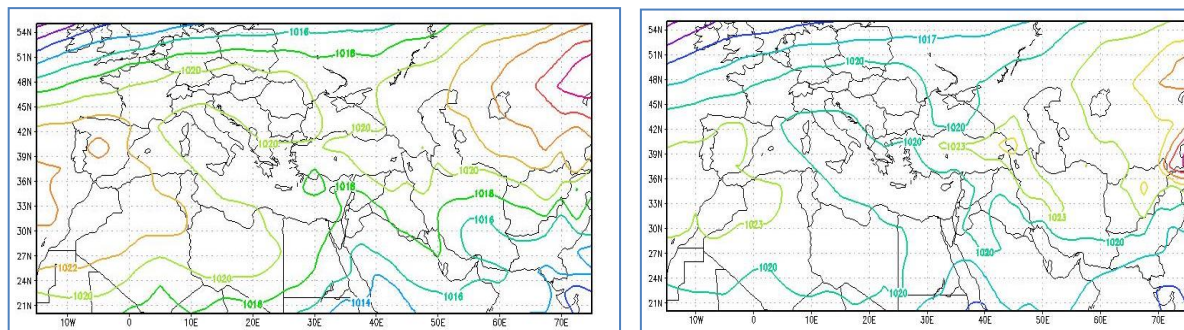
تحلیل داده‌های ساعتی ایستگاه همدید منجیل طی دوره آماری مورد نظر نشان می‌دهد، این باد دارای رفتار مشخص روزانه است. بدین صورت که تندی باد در طی روز از ۹ گرینویچ فرازش می‌یابد و کانون اوج آن در ساعت‌های ۱۲ و ۱۵ گرینویچ است (شکل ۲). میانگین تندی باد منجیل در ساعت اوج وزش در ساعت‌های ۱۲ و ۱۵ گرینویچ در طی دوره آماری برابر با ۱۰ متر بر ثانیه است. نکته حائز اهمیت وزش باد غالب و نائب غالب شمالی و شمال‌شرقی در طول سال در این ایستگاه است. در طی سال در مواردی محدود در شرایط وزش باد گرم شاهد تغییر جهت وزش باد به جهتی جنوبی هستیم (شکل ۳). بررسی فراوانی رفتار ساعتی، روزانه، ماهانه و فصلی باد منجیل در ایستگاه نماینده (منجیل) نشان‌دهنده تاثیر شرایط تابشی (حرارتی) بر این باد است. به طوری که در طی روز با گذشت زمان و تأثیر تابش خورشید به دو محیط جغرافیایی گوناگون، پهنه آبی دریای کاسپین و فلات ایران (دشت قزوین)، سبب تباين دمايی و ويژگی‌های فيزيکي جو می‌شود. اوج اين تضاد حرارتی در ساعت‌های بعداز ظهر است که دقیقاً منطبق بر فرازش تندی باد منجیل است (شکل ۴). رفتار ماهانه و فصلی باد منجیل هم میبن همين مسئله است. رفتار ماهانه تندی آن نشان می‌دهد که باد منجیل به ويژه در ماه‌های فصل گرم سال که شرایط همدید و تابشي در فلات ایران به گونه‌اي است که کم‌پاشار حرارتی فلات ایران تقويت می شود، به اوج فعالیت و گسترش خود می‌رسد (شکل ۴). امری که با توجه به وجود دریا در شمال و دمای متفاوت آن و وجود شرایط پرفشاری حرارتی کاسپین ملموس‌تر است.

الف- الگوی همدید- دینامیکی

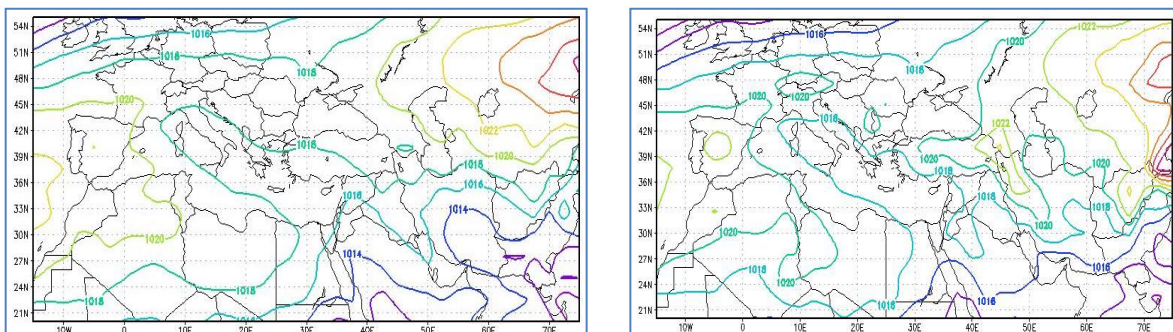
الف- الگوهای همدید شرایط بلندمدت شکل‌گیری NCEP- با منجیل با استفاده از داده‌های دوباره تحلیل شده-



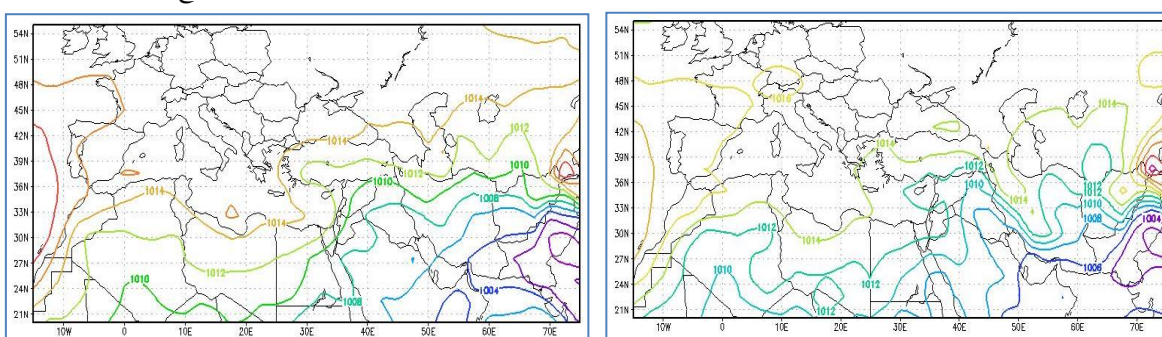
شکل ۴. درصد فراوانی هوای بادی (شایط غیر آرام) در ماه در طی دوره آماری. درصد هوای بادی در طی ساعت‌های گرینوچ در طی دوره آماری در ایستگاه همدید منجیل، منبع: نگارندگان، ۱۴۰۰



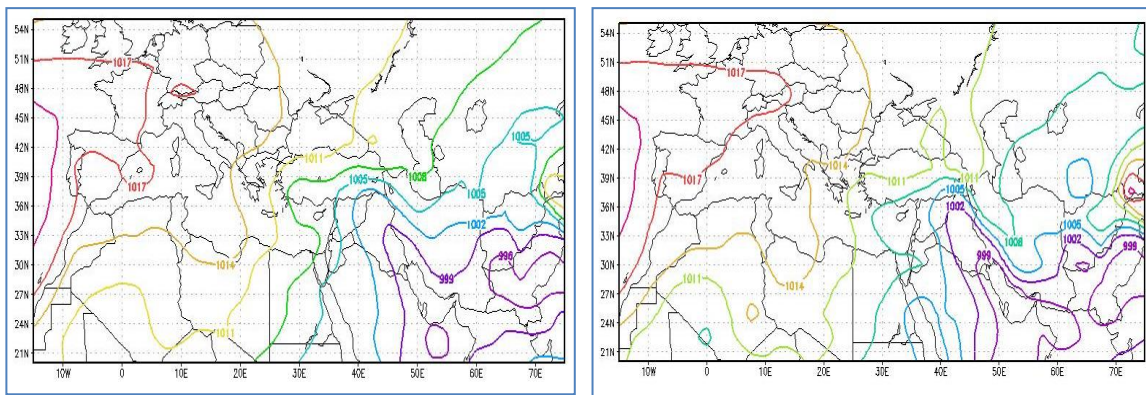
شکل ۵. الگوی بلندمدت ماه ژانویه در ساعت‌های صفر و ۱۲ همدید در طی دوره سی ساله، منبع: نگارندگان، ۱۴۰۰



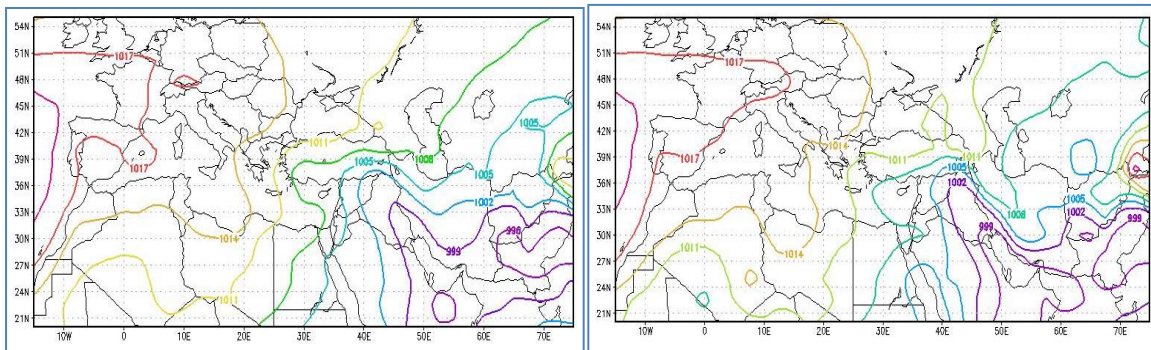
شکل ۶. الگوی بلندمدت ماه فوریه در ساعت‌های صفر و ۱۲ همدید در طی دوره سی ساله، منبع: نگارندگان، ۱۴۰۰



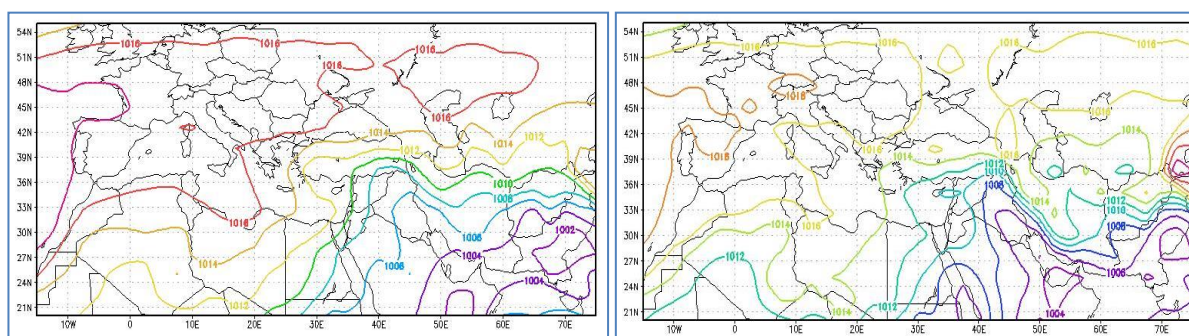
شکل ۷. الگوی بلندمدت ماه می در ساعت‌های صفر و ۱۲ همدید در طی دوره سی ساله، منبع: نگارندگان، ۱۴۰۰



شکل ۸. الگوی بلندمدت ماه جون در ساعت‌های ۰۰ و ۱۲ همدید در طی دوره سی ساله، منبع: www.cdc.noaa.gov/cdc

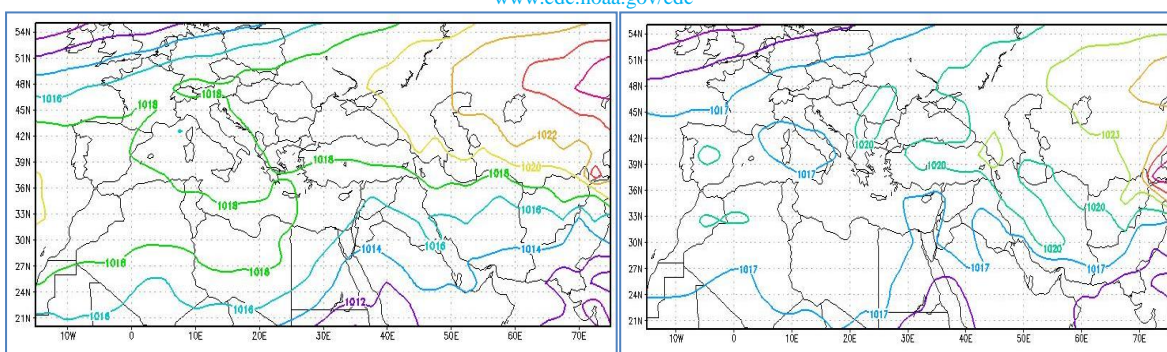


شکل ۹. الگوی بلندمدت ماه جولای در ساعت‌های ۰۰ و ۱۲ همدید در طی دوره سی ساله، منبع: www.cdc.noaa.gov/cdc



شکل ۱۰. الگوی بلندمدت فشار سطح دریا ماه سپتامبر در ساعت‌های ۰۰ و ۱۲ همدید در طی دوره سی ساله، منبع:

www.cdc.noaa.gov/cdc



شکل ۱۱. الگوی بلندمدت فشار سطح دریا ماه نوامبر در ساعت‌های ۰۰ و ۱۲ همدید در طی دوره سی ساله، منبع:

www.cdc.noaa.gov/cdc

زبانه آن تا بخش‌های مرکزی ایران گسترش یافته و بیشترین افزایش شیو فشاری طی ساعت ۱۲ گرینویچ، موجب بیشینه تندری وزش باد در این ساعت می‌گردد ([شکل ۸](#))。 در ماه‌های جون و جولای با تقویت مرکز کم‌فشار موسمی پاکستان و [شکل گیری](#) کم‌فشار حرارتی روی شبه جزیره عربستان و عراق و همچنین گسترش مداری هوای گرم به عرض‌های بالاتر که موجب تقویت کم‌فشار حرارتی فلات ایران می‌گردد، خطوط فشاری روی سواحل شمالی کشور تضعیف شده و کمرنند پرفشار به کاسپین میانی انتقال می‌یابد ([شکل ۹](#))。 استقرار هوای پرفشار روی عرض‌های بالا و هوای کم‌فشار روی جنوب البرز با تسلط جریان‌های شمالی (جنوب سو) همراه است。 طی ماه آگوست، [الگوی مشابهی](#) در منطقه مشاهده می‌شود با این تفاوت که کم‌فشار حرارتی عربستان و عراق تا حدودی تضعیف می‌شود ([شکل ۹](#))。

از ماه سپتامبر با آغاز فصل پاییز در نیمکره شمالی و شروع روند کاهشی دما، سامانه پرفشار نیمه دائمی سیبری مجدد روی بخش‌های وسیعی از شرق روسیه و شمال چین [شکل می‌گیرد](#) و گسترش زبانه هوای پرفشار از سمت شرق، نیمه شمالی ایران را متاثر می‌سازد([شکل ۱۰](#))。 با تضعیف سامانه کم‌فشار موسمی پاکستان و گسترش هوای سرد تا مرکز ایران، [میانگین فشار تراز دریا](#) روی فلات ایران افزایش می‌یابد。 [الگوی میانگین ساعت ۱۲](#) ماه‌های سپتامبر و اکتبر، کاهش فشار ناشی از تابش خورشیدی روزانه و گرمایش جو را روی سواحل شمالی نشان می‌دهد。 با این حال [گرادیان فشاری](#) در دو سوی البرز برای ساعت ۱۲ افزایش می‌یابد که موجب افزایش تندری باد شمالی می‌شود。 با افزایش روند کاهش دمای هوای طی ماه نوامبر، پرفشار ثانویه حرارتی ناشی از سرمایش شبانه رشته کوه‌های قفقاز برای ساعت‌های شب و اوایل صبح [شکل می‌گیرد](#) که بتدریج شرایط را برای

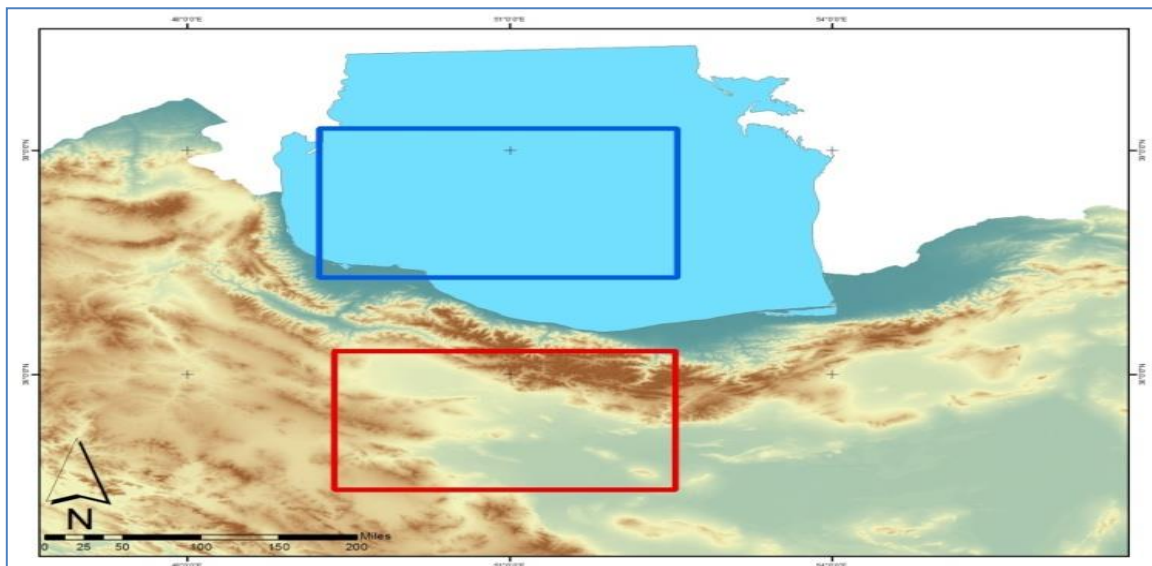
علاوه براین [شکل گیری](#) مرکز پرفشار ثانویه به سبب سرمایش روی کوهستان‌های قفقاز و جفت‌شدگی آن با زبانه هوای کم فشار از سمت عرض‌های بالا، موجب [شکل گیری](#) جریان‌های جنوب‌غربی و جنوبی در لایه‌های زیرین وردسپهر به سمت سواحل جنوبی دریای کاسپین می‌شود。 [الگوی میانگین](#) ماهانه ساعت ۱۲ UTC نشان می‌دهد شرایط گرمایش هوا در طی روز به سبب تابش خورشید موجب تضعیف مرکز پرفشار ثانویه روی شمال‌غرب ایران شده و بخش‌های شمالی ایران تحت تاثیر زبانه پرفشار سیبری قرار می‌گیرد。 از سوی دیگر گسترش شمال سوی هوای گرم از سمت عرض‌های جنوبی با روند کاهش فشارهای در سواحل همراهی می‌کند。 گرددش واچرخندی توده هوا در شمال رشته کوه البرز و گرددش چرخندی در جنوب البرز موجب [شکل گیری](#) جریان‌های شمالی و شمال‌شرقی به سمت سواحل جنوبی کاسپین می‌گردد。 [الگوی ذکر شده](#) با شدت کمتر در ماه فوریه نیز قابل مشاهده است ([شکل ۶](#))。 به عبارت دیگر با تضعیف سرمایش روی کوه‌های قفقاز و تضعیف مرکز پرفشار ثانویه، [گرادیان فشاری](#) در سواحل جنوبی کاسپین کاهش یافته اما همچنان شرایط برای [شکل گیری](#) مؤلفه نصف‌النهاری مثبت میدان باد مهیا است。 در حالیکه در طی روز با تضعیف پرفشار حرارتی و گسترش توده هوای کم‌فشار به عرض‌های بالاتر موجب تسلط جریان‌های شمالی در نیمه شمالی کشور می‌شود。 به طور مشابه، ماه مارس نیز از [الگوی فوق](#) پیروی می‌کند ([شکل ۷](#))。 [الگوی میانگین](#) فشار سطح دریا برای ماه‌های آوریل و می، تضعیف تدریجی مرکز پرفشار سیبری را نشان می‌دهد。 سواحل شمالی کشور متاثر از زبانه پرفشار آزور است که از سمت اقیانوس اطلس تا شرق اروپا امتداد یافته است。 در حالیکه نیمه جنوبی ایران تحت تأثیر سامانه هوای کم‌فشار از سمت عرض‌های جنوبی قرار دارد در طی روز

علاوه بر تحلیل همدید، شرایط شبانه و روز پدیده باد منجیل طی ساعت‌های فراز و فرود تندی باد، تفاوت فشار میان منطقه کاسپین جنوبی و فلات ایران (دشت قزوین) با استفاده از داده‌های بلندمدت فشار اخذ شده از داده‌های دوباره تحلیل شده NCEP-NCAR جهت شناسایی تضادهای فشاری-دمازی میان دو منطقه مورد بررسی قرار گرفت. این تفاضل به شکل بلندمدت در طی دوره آماری به شکل میانگین روزانه در طی سال مورد محاسبه قرار گرفت. یعنی برای روز ۱ الی روز ۳۶۵ برای دوره سی ساله این

شاخص به دست آمد (شکل ۱۲).

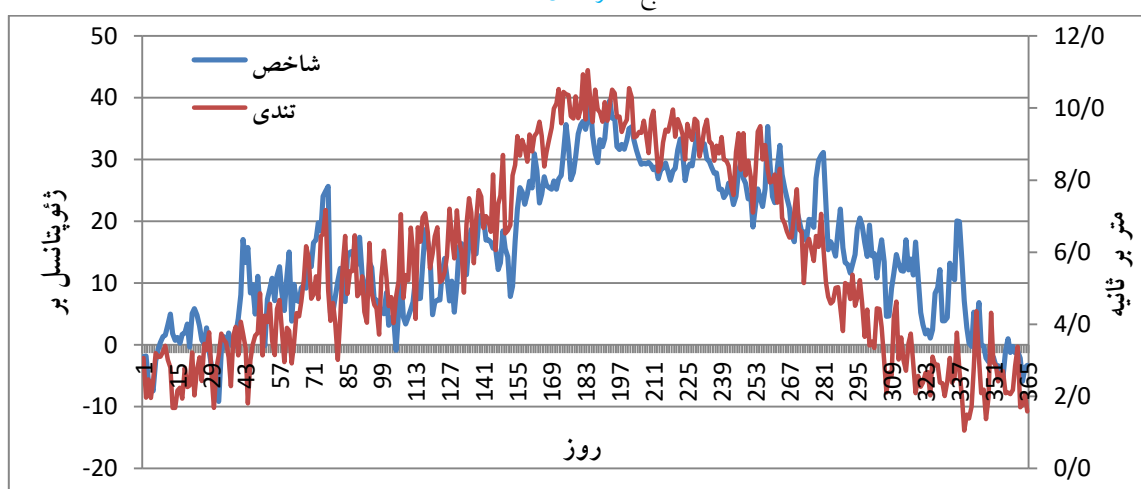
شکل گیری مولفه نصف‌النهاری مثبت باد و تقویت جریانات جنوبی طی این ساعت‌های فراهم می‌سازد. برای ساعت‌های روز، گرمایش تابشی روزانه با تضعیف کمرنگ پرفسار در نیمه شمالی ایران موجب تضعیف پرفسار حرارتی ثانویه و تسلط جریان‌های شمالی می‌شود. که توصیف تقویت باد منجیل با جهت جنوب‌سو می‌شود (شکل ۱۱).

ب- بررسی تضاد فشاری و دمازی میان پهنه جنوبی دریای کاسپین و فلات ایران (دشت قزوین)



شکل ۱۲. محدوده مورد استفاده جهت برآورده تضاد فشاری-دمازی میان پهنه جنوبی دریای کاسپین و فلات ایران (دشت قزوین)،

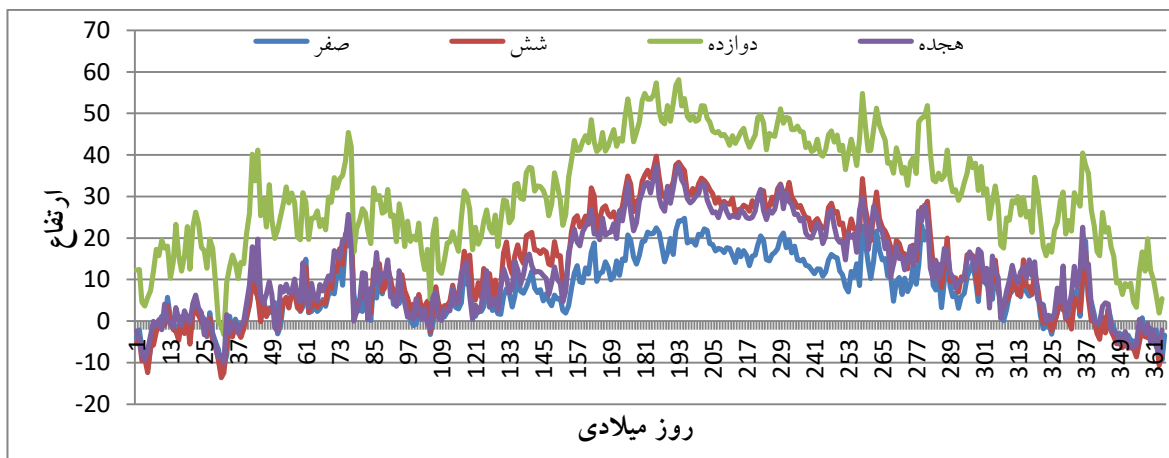
منبع: نگارندگان، ۱۴۰۰



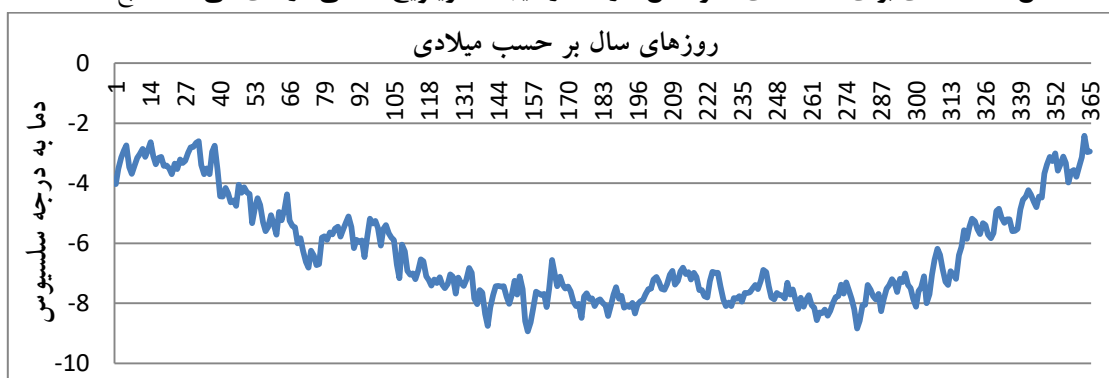
شکل ۱۳. میانگین تفاضل روزانه فشار تراز ۱۰۰۰ هکتوپاسکالی بر روی منطقه دریای کاسپین جنوبی و فلات ایران (دشت قزوین- زنجان) در طی دوره آماری ۳۰ ساله- در مقایسه با داده‌های میانگین تندی باد ایستگاه همدید منجیل، منبع: نگارندگان، ۱۴۰۰

است (شکل ۱۴). با توجه به تفاوت‌های مشخص میان الگوهای همدید در ساعت‌های همدید که ناشی از تاثیر شرایط تابشی-دمازی، تفاصل شرایط دمازی روزانه ۳۰ ساله این دو واحد جغرافیایی محاسبه شد. رفتار تفاصل دمای ۲ متری میان پنهانی جنوبی دریای کاسپین و فلات ایران، تطابق معنی‌دار و مشخصی با رفتار فصلی و روزانه باد منجیل دارد (شکل ۱۵). به گونه‌ای که می‌توان مشاهده نمود که در ساعت شش، شدت باد پایین بوده، با طلوع آفتاب بر شدت باد افزوده شده و در بعدازظهر جریان باد در نتیجه بیشینه تفاصل به بالاترین مقدار خود رسیده است. مجدداً با کاهش مقادیر شاخص تندی باد نیز کاهش یافته و این چرخه روزانه کاملاً تحت تاثیر تغیرات فشار روزانه به صورت نوسانی تکرار شده است. همچنین بیشینه فصلی تفاصل و باد کاملاً بر هم منطبق می‌باشند (شکل ۱۵ و ۱۶).

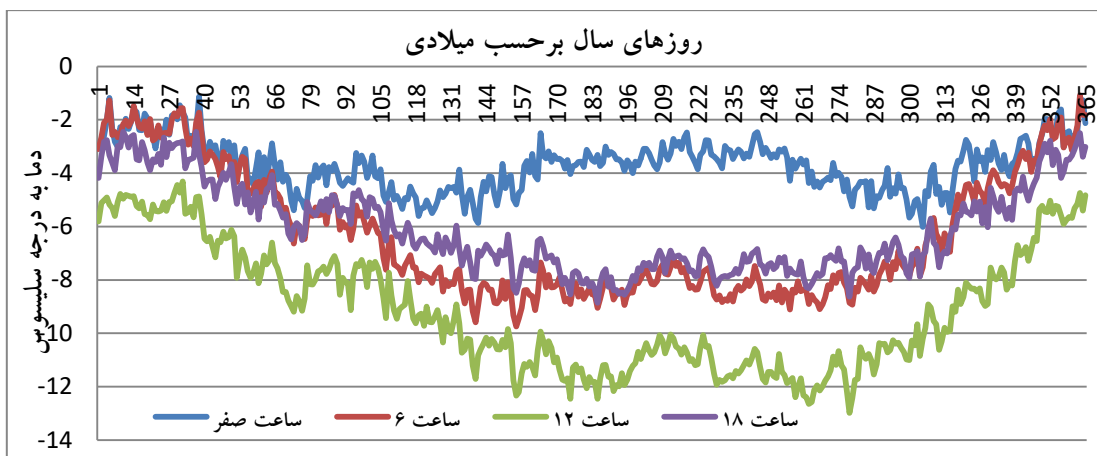
رفتار تفاصل در طی روزهای سال گویای واقعیت رفتار باد منجیل است. با افزایش تفاصل فشاری، تندی باد منجیل به شکل مشخصی افزایش می‌یابد (شکل ۱۳). مطابق این نمودار این شرایط در فصل گرم سال افزایش یافته است. علاوه بر تشابه رفتار دو نمودار تندی باد و تضاد فشار، همبستگی میان تندی باد منجیل و تفاصل فضار میان پنهان جنوبی دریای کاسپین و فلات ایران برابر با ۰/۸۵۷ است. محاسبه این تفاصل برای ساعت‌های صفر، ۱۲، ۰۶ و ۱۵ گرینویچ به شکل مشخص رفتار روزانه باد منجیل را توجیه می‌کند (شکل ۱۴). همان‌طور که در شکل (۱۴) مشاهده می‌شود هم زمان با فرازش تندی باد منجیل در ساعت ۱۲ در ایستگاه، شاهد افزایش تفاصل می‌باشیم. کمترین میزان شاخص در ساعت صفر است که دقیقاً مطابق با زمان کاهش مشخص تندی باد و همچنین پائین بودن فراوانی ساعتی باد



شکل ۱۴. شاخص تضاد فشاری برای ساعت‌های صفر، شش، دوازده و هیجده گرینویچ در طی دوره‌ی سی ساله، منبع: نگارندگان، ۱۴۰۰



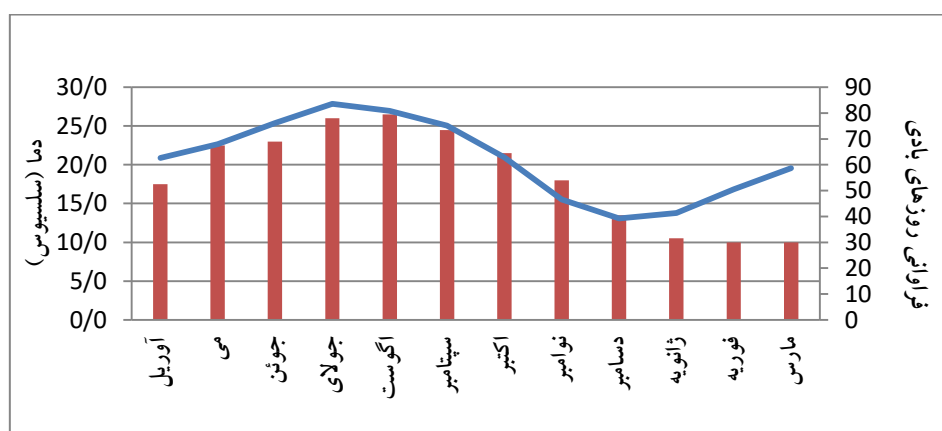
شکل ۱۵. تفاصل دمای روزانه ۲ متری در طی دوره آماری میان پنهان کاسپین جنوبی و فلات ایران (دشت قزوین)، منبع: نگارندگان



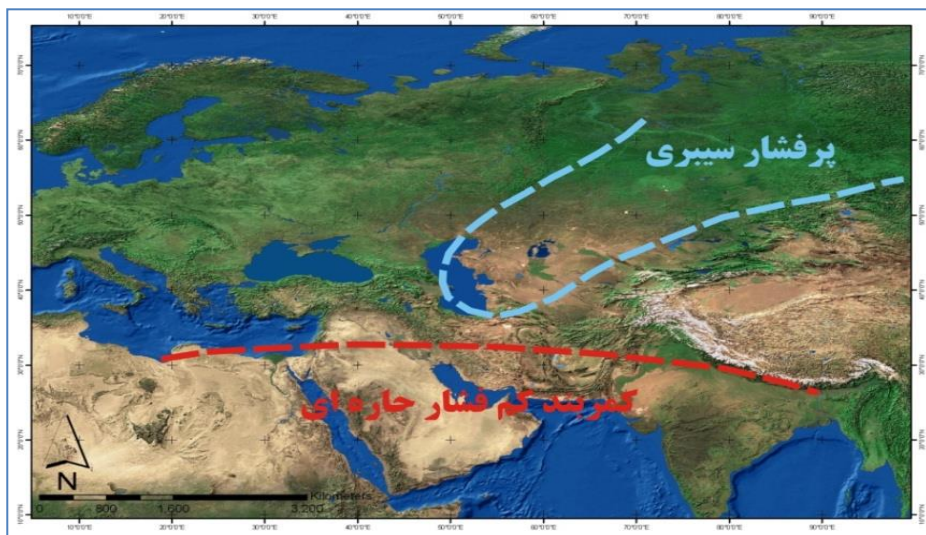
شکل ۱۶. تفاضل دمای روزانه ۲۰۰ متری در طی دوره آماری در ساعت‌های همدید میان پهنه کاسپین جنوبی و فلات ایران (دشت قزوین)، منبع: نگارندگان، ۱۴۰۰

میانگین ساعت صفر UTC سالانه نیز قابل رویت است چرا که هر چند در طول شب به تدریج دمای آب کم می‌شود و هوای سرد و پرسشار مجاور آب شکل بگیرد، ولی چون فلات ایران به خاطر پوشش خاک زود سرد می‌شود تباين دمایی کاسته می‌شود. بنابراین نقش گرمایش فلات ایران حتی در رژیم روزانه باد خیلی حائز اهمیت است. از طرفی در فصول سرد سال تا حد زیادی شکل گیری جریان‌های جنوبی و مولفه مثبت مداری باد، اندازه بردار باد یا همان میانگین تندی رو کاهش می‌دهد. در نتیجه افزایش دمای آب در فصول گرم قطعاً موجب افزایش تندی باد منجیل نمی‌شود بلکه اثباتی بر اهمیت گسترش نصف‌النهاری کم‌پشار حرارتی فلات ایران در افزایش تندی بار در فصول گرم است.

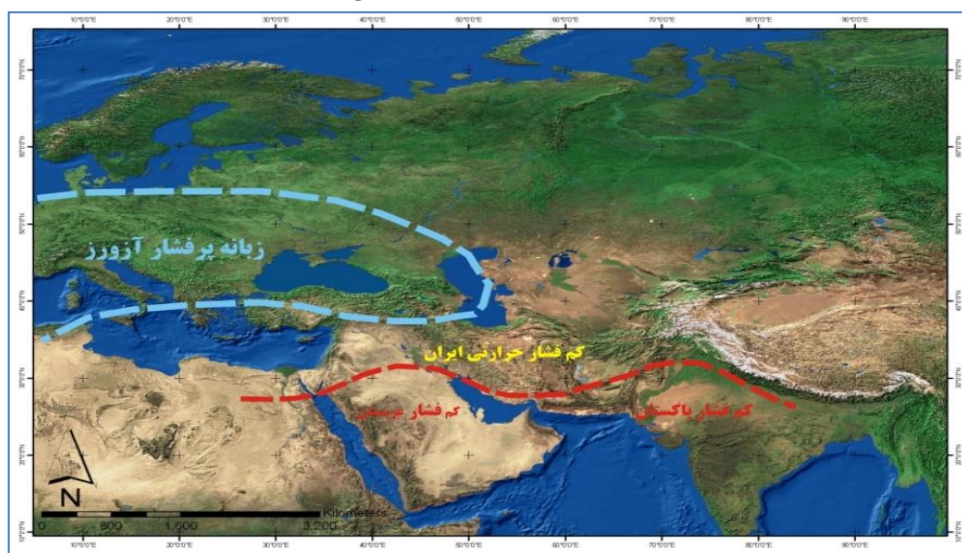
جهت شناسایی بهتر از تأثیر شرایط دمایی بر تندی باد منجیل، میانگین دمای پهنه جنوبی دریای کاسپین به دست آمد و سپس میانگین داده‌های تندی باد در ایستگاه منجیل مورد بررسی قرار گرفت (شکل ۱۷). تندی ماههای گرم NCEP سال، هم از داده‌های ایستگاهی و هم از داده‌های اثبات شده است. استنباطی که می‌توان از برآذش این دو شکل کرد، در شکل گیری باد منجیل نقش گرمایش فلات ایران و شکل گیری کم‌پشار حرارتی نسبت پرسشار حرارتی کاسپین ارجحیت دارد. چرا که با افزایش دمای آب در فصول گرم قطعاً پرسشار حرارتی تضعیف می‌شود. بنابراین گرمایش روی فلات ایران و افزایش دما در جنوب البرز باید خیلی بیشتر باشد تا این کاستی را جبران و گرادیان فشاری را در مقایسه با فصول گرم افزایش دهد. این شرایط دقیقاً در



شکل ۱۷. مقایسه دمای سطح دریای کاسپین و درصد هوای بادی در ایستگاه همدید منجیل در طی ماههای سال در طی دوره سی ساله، منبع: نگارندگان، ۱۴۰۰



شکل ۱۸. الگوی همدید آب و هوایی سازوکار باد منجیل در فصل گرم برگرفته از تحلیل داده‌های ۳۰ ساله NCEP/NCAR در ساعت ۱۴۰۰ UTC زمان اوج تندی باد منجیل، منبع: نگارنده‌گان



شکل ۱۹. الگوی همدید آب و هوایی سازوکار باد منجیل در فصل سرد برگرفته از تحلیل داده‌های ۳۰ ساله NCEP/NCAR در ساعت ۱۴۰۰ UTC زمان اوج تندی باد منجیل، منبع: نگارنده‌گان

فصلی باد منجیل در ایستگاه نماینده (منجیل) نشان‌دهنده تاثیر شرایط تابشی (حرارتی) بر این باد است. به طوری که در طی روز با گذشت زمان و تاثیر تابش خورشید به دو محیط جغرافیایی مختلف در دریای کاسپین و فلات ایران (دشت قزوین)، سبب تباين دمای و ويژگی‌های فيزيکي جو می‌شود. اوج اين تضاد حرارتی در ساعات‌های بعد ظهر است که دقیقاً منطبق بر فرازش تندی باد منجیل است. رفتار ماهانه و فصلی باد منجیل هم مبین همین مستله است. رفتار ماهانه تندی اين باد نشان می‌دهد اين باد به ويژه در نيمه اوليه

۴. بحث و نتیجه‌گیری

باد منجیل دارای رفتار مشخص روزانه است، که به طوری کل در طی سال با جهتی شمالی-جنوبی است. بدین صورت که تندی باد در طی روز از ۹ گرینویچ فرازش می‌باید و اوج ان در ساعات‌های ۱۲ و ۱۵ گرینویچ است. در ساعت ۱۲ گرینویچ تندی میانگین باد اندکی از ساعت ۱۵ گرینویچ بيشتر است. میانگین تندی باد منجیل در ساعت اوج وزش در ساعات‌های ۱۲ و ۱۵ گرینویچ در طی دوره آماری برابر با ۱۰ متر بر ثانیه است. بررسی رفتار ساعتی، روزانه، ماهانه و

دریایی کاسپین هستیم. این گسترش و نفوذ زبانه پر فشار آزور با تقویت و گسترش همزمان سامانه کم فشار های حرارتی پاکستان و عربستان تا میانه فلات ایران است. این دو گسترش همزمان، سبب افزایش شیو فشاری بر نیمه شمالی ایران می شود. از ماه سپتامبر به بعد تقویت دوباره سامانه پر فشار سیری و گسترش غرب سوی آن تا مناطق شمالی کاسپین انفاق می افتد. مطالعه الگوهای همدید در ساعت های همدید نمایانگر نکته های پراهمیتی در زمینه تغییر های الگوهای همدید در طی روز دارد. رفتار روزانه ساعتی سامانه های همدید در این مطالعه نمایانگر نقش ویژگی های آب و هوای لایه مرزی و میزان تابش دریافتی سطوح مختلف سطح زمین در تقویت یا کاهش سامانه های همدید دارد. با توجه به بیشینه دریافت روزانه تابش دریافتی به زمان محل دارد. بنابراین می توان در بیشترین تفاوت در الگوهای همدید در این ساعت از روز در طی مدت دوره مورد مطالعه (۳۰ ساله). در این مطالعه تمامی نقشه های ارائه شده منطبق بر همین ساعت است (شکل ۱۸ و ۱۹).

مطالعه نقشه های همدید در طی دوره ۳۰ ساله در ساعت های عمدۀ همدید نمایانگر منشاء سامانه های فشاری موثر بر وزش باد میان دریایی کاسپین و فلات ایران مایین رشتۀ کوه های البرز است. با این حال نبود ایستگاه ها همدید و بویه های در سطح دریایی کاسپین جهت در ک بهتر از شرایط فشاری بر روی این پهنه آبی را عملاً مشکل و غیر ممکن کرده است. جهت برداشت در ک بهتری از شرایط فشاری بر روی دریا یکسان به بررسی تفاضل فشار میان پهنه جنوبی دریایی کاسپین و فلات ایران (دشت قزوین) فلات ایران پرداخته شد. شرایط تضاد فشاری بین دو منطقه به شکلی مطلوب با فراوانی تندی باد منجیل هم خوانی و برازش مناسب دارد (شکل ۱۳). با افزایش شیو فشاری میان دو منطقه به ویژه در فصل گرم شاهد افزایش تندی باد منجیل می شود.

سال (فصل گرم) که شرایط همدید و تابشی در فلات ایران به گونه ای است که کم فشار محلی فلات ایران به اوج فعالیت و گسترش خود می رسد. امری که با توجه به وجود دریا در شمال و دمای متفاوت آن و وجود شرایط پر فشاری حرارتی کاسپین ملموس تر است. مطالعه نقشه های بلندمدت همدید در ماه های سال نشان دهنده تاثیر دو الگوی همزمان شمالی - جنوبی موقعیت قرار گیری منطقه در عرض های جغرافیایی که محل تبادل و تقابل سامانه های همدید با منشا های مختلف هستند سبب شده که شرایط برای شکل گیری شارش هایی جنوب سوی در مقیاس منطقه ای شکل بگیرد. مطابق یافته های این مطالعه، این سامانه های همدید با توجه به فصول گرم و سرد سال دارای منشاء های متفاوتی هستند. که تقویت هر کدام در یک دوره زمانی از سال نقش اصلی را در افزایش شیو فشاری بین دو منطقه در عرض های میان ۲۰ تا ۵۰ درجه شمالی بر روی فلات پهناور ایران فراهم می سازد. در فصل سرد سال این نقش مربوط به سامانه های همدید پر فشاری است. به نوعی که با شکل گیری و تقویت سامانه پر فشار سیری روی شرق روسیه، شمال چین و همچنین گسترش دامنه آن به سوی غرب و جنوب، شرایط برای تقویت شیو فشار روی نیمه شمالی ایران فراهم می شود (شکل های ۵، ۶ و ۱۱). آنچه که در ماه ژانویه به همراه سامانه پر فشار سیری عامل شارش در فلات ایران از شمال به جنوب است پر فشار ثانویه ای است که بر روی توده کوهستانی عمدۀ در منطقه مایین دریایی سیاه و دریای کاسپین، رشتۀ کوه های قفقاز است. در این پژوهش این پر فشار ثانویه را پر فشار ثانویه قفقاز شده است. در دوران گذر میان فصل سرد به سوی گرم، بهار، نقش سلول پر فشار عرض های بالا به پر فشار غربی با منشاء دینامیکی تبدیل می شود. در ماه های می، جون، جولای شاهد تقویت و گسترش شرق سوی زبانه آزور تا روی مناطق شمالی

شرایطی چون عرض جغرافیایی بالاتر و شرایط جغرافیایی متفاوت میان پهنه‌جنبی دریایی کاسپین و جلگه گیلان با دشت‌های جنوبی رشته کوه البرز، سبب شده تضاد حرارتی - فشاری در طول ساعت‌های شب، نیز ادامه یابد. هرچند در زمان نبود خورشید، تباين‌های به وجود آمده ناشی از شرایط تابشی محلی حذف شده و به همین سبب در طی ساعت‌های شب شاهد کاهش و حتی فروکش کردن وزش باد منجیل هستیم. علاوه بر شرایط فیزیکی متفاوت سطوح، عوامل درهم‌تنیده دیگری در دوام وزش باد در منجیل موثر است. با تمامی تفسیرهای همدید و فیزیکی صورت گرفته در زمینه عامل شکل‌گیری باد منجیل، آن‌چیزی که نمود ظاهری باد منجیل را سبب شده نه شرایط همدید-دینامیکی و فیزیکی به تنهایی، بلکه شرایط توپوگرافیکی است. وجود دره سفیدرود به خصوص از روبار تا منجیل که با تنگ شدگی و همگرایی جریان هوا را ایجاد می‌کند از عوامل مهم سرعت‌گیری باد منجیل است. به گونه‌ای که شرایط تندی باد منجیل در هیچ کجا دیگر نه در طول دره و حتی خروجی آن مشاهده نمی‌شود.

از داده‌های محیطی و ایستگاهی می‌توان نتیجه گرفت که دره سفیدرود بر همگرایی و کانالیزه شدن جریان باد منجیل تاثیر دارد. این امر سبب شکل‌گیری جهت جریان شمالی در ایستگاه منجیل می‌شود علاوه بر این این وضعیت سبب تندی باد منجیل شده که وجه مشخصه آن در داده‌های ایستگاه منجیل است. وجود تنگه منجیل در ورودی شهر منجیل سبب شده که بادی که در طی دره سفیدرود کانالیزه شده است به شکلی ناگهانی و انفجاری در منطقه منجیل نمود پیدا کند با این حال با توجه به اثر این تنگه‌ای حالت دور شدن از تنگه منجیل به سمت اطراف شدیداً کاهش می‌یابد. درختان پرچمی که نشانگرهای طبیعی وجود بادهای غالب در هر منطقه هستند فقط در حوالی تنگه منجیل و تنها

مسئله عمده در این میان رفتار ساعتی تضاد فشاری میان دریای کاسپین و فلات ایران (دشت قزوین) است. به طور که در ساعت‌های فلکان تابش، ساعت‌های ۰۶ و ۱۸ UTC، تضاد فشاری به کم و در ساعت صفر UTC عملابه کمینه خود می‌رسد. بیشینه تضاد در ساعت ۱۲ UTC است که دقیقاً متنطبق بر ساعت عصر و افزایش شار حرارتی در ساعت محلی و افزایش تندی باد است. با توجه به رفتار ساعتی باد منجیل و تضاد فشار میان دریای کاسپین و دشت قزوین، که نشان از نقش نمایه دما به عنوان شاخصی از شرایط حرارتی ناشی از حضور خورشید در منطقه است. تفاصل دما میان دریای کاسپین و دشت قزوین در طی دوره مورد مطالعه مورد واکاوی قرار گرفت و نتایج تایید کننده رفتار همزمان تندی باد با افزایش تضاد حرارتی میان دو منطقه بوده است (شکل ۱۶).

نتایج مطالعه‌های قبلی در تلفیق با نتایج حاصل از این مطالعه، نمایان گر این مسئله است که شرایط وزش باد منجیل از سه شرط عمده و درهم‌تنیده منتج می‌شود. شرایط و سازوکار همدید منجر به وزش باد منجیل ناشی از وجود سامانه‌های فشاری مقیاس همدید در شمال و جنوب البرز است. این سامانه‌های فشاری شامل پرفشار سیبری که نقش اصلی را در فصل سرد به عهده دارد و همچنین سامانه پرفشار دینامیکی آزور است که در فصل گرم سبب تولید باد در منطقه می‌شود. در شروع فصل سرد و با تغییر شرایط حرارتی دریا، انتظار بر این است که جهت وزش باد تغییر یافته و از سمت فلات ایران به منطقه شمال صورت گیرد. اما درست در همین زمان به دلیل گسترش زبانه پرفشار سیبری به منطقه، در منطقه شرایط پرفشار نسبت به فلات ایران ایجاد می‌شود. یعنی با حذف عامل شرایط لایه‌مرزی و تفاوت حرارتی ناشی از جنس و خواص فیزیکی سطوح، نقش نیروی مولد باد منجیل به سامانه‌های فشاری همدید مقیاس منتقل می‌شود.

Gandhamkar, 2009, evaluation of wind energy in Iran, Journal of Geography and Environmental Planning, 20th year, number 36, pp. 85-100. (In Persian)

Guilan meteorological office, Gilan. Hourly statistics of Manjil station's observation station, 1993-2020.

Hashemzadeh Mohammad. 2014. synoptic analysis of the origin of the 120-day winds of Sistan, supervisor Dr. Qasim Azizi, master's thesis of the Faculty of Geography, University of Tehran. (In Persian)

Heinemann, Günther, 2018, an Aircraft-Based Study of Strong Gap Flows in Nares Strait, Greenland, Monthly. Weather. Review146 (11): 3589–3604.

Hosseinzadeh, Seyedreza. 1997. Sistan's 120-day winds, Geographical Research, No. 46, pp. 103-127. (In Persian)

Hourly atmospheric data from the US National Oceanic and Atmospheric Administration NCEP/NCAR:

www.cdc.noaa.gov/cdc/data.ncep.reanalysis.pressure.html.

Ito, Junshi; Nagoshi, Toshiyuki; Niino, Hiroshi, 2019, A Numerical Study of "Hijikawa-Arashi": A Thermally Driven Gap Wind Visualized by Nocturnal Fog, Journal of Applied. Meteorology. Climatology. 58 (6): 1293–1307.

Kaviani, Mohammadreza and Alijani, Bahloul. 2016. Basics of Meteorology, 13th edition, Samit Publishing House, Tehran. (In Persian)

Liang, Jun-Hong, McWilliams, James C. and Gruber, Nicolas, 2009, High-frequency response of the ocean to mountain gap winds in the northeastern tropical Pacific, Journal of Geophysical Research, vol. 114, pp:12-1.

در یک جا، آن هم در سمت بادگیر دریاچه منجیل دقیقاً در

راستای تنگه منجیل در منطقه سیاهپوش قرار دارد.

۵. فهرست منابع

Alijani, Bahlol. 2000. The climate of Iran, third edition, Payam Noor University Press, Tehran. (In Persian)

Allaby, Michael. 2007, Encyclopedia of weather and climate, revised edition, Facts on File Science Library, USA .

Barry, G. Roger, 2008, Mountain weather and climate, Cambridge University Press, Third edition, UK.

Belušić, Danijel, Hrastinski, Mario, Večenaj, Željko, Grisogono Branko, 2013, Wind Regimes Associated with a Mountain Gap at the Northeastern Adriatic Coast, J. Applied. Meteorology. Climatology. 52 (9): 2089–2105.

Carrera, Marco, L., Gyakum, John. R. and Lin, Charles, A., 2009, observational study of wind channeling within the st.Lawrence River Vally, journal of applied meteorology and climatology, volume 48, pp. 2361-2341.

Daily sea surface temperature data from the website:

<ftp://eclipse.ncdc.noaa.gov/pub/OI-daily-v2/NetCDF/>

Davis, Shannon R., Pratt, and Lawrence J., Jiang, Houshuo, 2015, the Gap Jet: Regional Circulation, Diurnal Variability, and Moisture Transport Based on Numerical Simulations, Journal of Climate, Volume 28, Issue 15, pp: 5885–5907.

Gaffin, David, M.,2007, Foehn winds that produced large temperature differences near the southern Appalachian mountains, weather, and forecasting, volume 22, pp. 159-145.

model, Research Journal of Environmental Sciences, 3, pp.239-232.

Yang, Jun-Chao and Lina, Xiaopel, 2017, Transbasin Mode of Internal Variability of the Central American Gap Winds: Seasonality and Large-Scale Forcing, Journal of Climate, volume 30, pp 8223-8235.

Masoudian, Abolfazl and Kaviani, Mohammad Reza. 2008. Climatology of Iran, first edition, Isfahan University Press, Isfahan. (In Persian)

Masoudian, Abolfazl. 2013. Sistan's One Hundred and Twenty-Day Wind, two quarterly journals of applied meteorology, year 1, number 1, pp. 46-37. (In Persian)

Mayer, J.Georg. Vergeiner, Johannes. And Ghom, Alexander. 2002, an automobile platform for the measurement of Foehn and Gap flows, Journal of atmospheric and oceanic technology, volume 19, pp. 1556-1545.

Mofidi, Abbas, Hamidianpour, Mohsen, Sasih, Mohammad, Alijani, Bahloul. 2012. Determining the start, end, and duration of the Sistan wind using change point estimation methods, Geography and Environmental Hazards, No. 8, pp. 87-112. (In Persian)

Oliver John E., 2005, Encyclopedia of Earth Science Series, Encyclopedia of World Climatology, Springer, Netherland .

Rezaei, Parviz. 2003. Climate survey of Manjil wind, Geographical Research Quarterly, No. 68, pp. 101-113. (In Persian)

Schamidili, Juerg. And Rotunno, Richard. 2010, Mechanisms of along-valley winds heat exchange over mountainous terrain, Journal of the atmospheric sciences, volume 67, pp. 3047-3033.

Sharp, Justin and Mass, Clifford F.2004, Columbia Gorge Gap Winds: Their Climatological Influence and Synoptic Evolution, Wea. Forecasting (2004) 19 (6): 970–992.

Sedaghat kerdar,Abdollah , sehatkashani,Saviz, Aliakbar Bidokhti, 2009, study the Gap wind in the Sepeed-rood valley of Iran USING A Hydraulic

